

## تحولات معادن المايكا وأثرها في جاهزية البوتاسيوم عند بعض ترب محافظة بابل

عباس صبر سروان الوطيفي  
لوي منهل جفات الجبوري  
كلية الزراعة - جامعة القاسم الخضراء

**المستخلص:**

تضمن البحث دراسة بعض الخصائص التقليدية والtermodynamic والتبادلية لتقدير جاهزية البوتاسيوم في بعض ترب مدينة الحلة التابعة لمحافظة بابل، والواقعة بين خط طول 446724° إلى 444299° شرقاً، ودائرة عرض 3275183° إلى 3208757° شمالاً، وعلاقتها بالمعادن الحاملة للبوتاسيوم والتحولات الحاصلة في معادن المايكا عند ترب الآفاق السطحية تحت السطحية باعتبارها أكثر عرضة وتماس مع الظروف والعوامل البيئية السائدة، وضمن مدى العمق الجذري التي تصل إليه أكثر النباتات. إذ تراوح تركيز البوتاسيوم الذائب في بين 0.02-0.10 cmol kg⁻¹، وكمية البوتاسيوم المتبدل بين 0.17-0.37 cmol kg⁻¹. وعليه كانت كمية البوتاسيوم الجاهز بين 0.22-0.47 cmol kg⁻¹. وعبرت فعالية البوتاسيوم وطاقة التنشيط عن وجود حالة من الازدحام في البوتاسيوم بين طوري الصلب والسائل للترابة بقيمة تراوحت بين 0.0015-0.0085 (مول لتر⁻¹)¹/² وبين (3835-2817) إلى (1-1.12) مول⁻¹ على التتابع. وما أوضح عنه معامل تفضيل كابون الذي تراوح بين 11.91-12.92 مول⁻¹/² بأن البوتاسيوم من نوع المرتبط بالحواف. تراوحت نسب معادن الفلدسبارات بين 13.8-19.1%، ومعادن المايكا المتمثلة بالمسكوفايت والبايوتايت بين 12.06-19.17% في مكونات الرمل الخفيفة والتقليلة على التتابع. وأظهرت نتائج الأشعة السينية المسافة القاعدية 12.26 أنكستروم، وبقطر عريضة وواسعة محصورة بين حبيبي معادن المايكا 10-14 أنكستروم ومعدن المونتموريونايت (Mg-Al-Si₃O₈) المتعدد. مما تشير إلى وجود المعادن المستطبقة غير المنتظمة الناشئة عن تحول معادن المايكا باتجاه معادن السمكتايت (KAlSi₃O₈) وكانت نسبة المعادن الناتجة عن تلك التحولات المعدنية في التربة بين 7.65-17.67%. ولم تبدي النتائج تحولات في معادن المايكا عند أطيان تربة الآفاق السفلي من البيدون.

**الكلمات المفتاحية:** المعادن الحاملة للبوتاسيوم، التحولات المعدنية، المستطبقة، جاهزية البوتاسيوم.

• البحث مستمد من رسالة ماجستير.

## TRANSFORMATIONS OF MICA MINERAL AND THEIR EFFECT ON POTASSIUM AVAILABILITY UNDER SOME SOILS Of BABYLON PROVENCE

Abbas S. S. AL-Wotaify

Luay Manhal chaffat Al-Jiboori

### ABSTRACT:

The research included the study of some traditional, thermodynamic and reciprocal characteristics in order to assess the availability of potassium in some soils related to Al-Hillah city in Babylon province between 436724° to 464299°E and 3575183° to 3608757°N. Its relation to potassium-carrier minerals and transformations occurring in mica minerals on surface horizons which consider more contact with environmental conditions and factors. Where the concentration of dissolved potassium in the surface horizons soils ranged from 0.02 to 0.10 cmol kg⁻¹, and the quantity of reciprocal potassium between 0.17 to 0.37 cmol kg⁻¹. Accordingly, the quantity of available potassium was between 0.22 and 0.47 cmol

$\text{kg}^{-1}$ . The activation energy and effectiveness of potassium have revealed a state of equilibrium in potassium between the solid and liquid conditions of soil with values ranging from 0.0015 to 0.0086 ( $\text{mol L}^{-1}$ )  $^{1/2}$ , and between (3835-) to (2817-)  $\text{Cal mol}^{-1}$  respectively. Gabon's preference coefficient has disclosed that the potassium is of connected with edges type, which ranged from 1.12 to 6.92  $\text{L mol}^{-1/2}$ .

The proportions of feldspars minerals ranged from 1.3 to 3.8% and mica minerals, consisting of muscovite and biotite, ranged from 11.91 to 19.17%, in heavy and light sand components respectively. The results of X-ray showed the basal distance of 12.06 and  $12.26\text{\AA}$ , with wide and broad peaks, confined between the two diffractions of mica mineral of  $10\text{\AA}$  and montmorillonite metal of  $14\text{\AA}$ , this indicates the presence of irregular and interstratified minerals resulting from the transformation of mica minerals towards the expanded smectite minerals (2:1). The minerals proportion resulting from its transformations in soil was between 7.65 to 17.67%. The results of XRD did not appear any transformations in mica minerals under subsurface horizon clays of soil pedon1.

**Keywords:** potassium-carrier minerals, minerals transformations, interstratified, potassium availability.

#### • Part of M.Sc. thesis.

تساقط الأمطار، وحركة أكثر العناصر المغذية على أثر ميكانيكياته المتعددة (13). وهذه الخصائص مع الوظائف الأخرى التي يمارسها البوتاسيوم تكون على درجة كبيرة من الأهمية في ترب المناطق الجافة وشبيه الجافة التي تعاني حالة من الشحنة في مياه الري. نظراً لما يمتلكه البوتاسيوم من سلوكيات متنوعة ومعقدة في الترب بالاعتماد على الظروف والعوامل البيئية السائدة التي تتباين بالشدة والتاثير في تلك السلوكيات منها الرطوبة والجفاف. وزيادة تركيز بعض الأيونات المنافسة إليه سواء في محلول التربة أو على سطوح معقدات التبادل الأيوني مثل الكالسيوم والمغنيسيوم والصوديوم (19). فضلاً عن التوزيع الحجمي لمفصولات التربة، ونوعية وكمية معادن

**المقدمة:** وجود البوتاسيوم في التربة بمختلف صوره الذائية والمتبادلة وغير المتبادلة، فضلاً عن دوره في تغذية النبات لكونه من العناصر المغذية الكبرى التي يجب أن تتوفر بصورة جاهزة في الترب السطحية. وذلك لإكمال متطلبات النمو النباتي وإنتجائه من خلال تحفيزه للعديد من التفاعلات الإنزيمية، وقيامه بدور تميزه عن باقي العناصر المغذية الأخرى للنبات، ومن أكثرها اسهاماً في تنظيم الجهد الأزموزي وتحسين قابلية النبات على الاحتفاظ بالماء، بسبب مشاركته في خفض معدلات النتح من خلال السيطرة على فتح وغلق ثغور الأوراق، مما ينتج عن ذلك زيادة تحمل النبات للملوحة ومقاومة العجز المائي سواء عن طريق الري أو قلة

الثاني( $P_2$ ) في مدينة الهاشمية الذي يبعد عن البيدون الأول بمسافة 27كم بالاتجاه الجنوبي من مركز مدينة الحلة. في حين البيدون الثالث( $P_3$ ) كان عند محطة البستنة الواقعة في قضاء المحاويل شمال مدينة الحلة يتصف بعظام نباتي من نوع أشجار البساتين، ويبعد عن البيدون الأول بمسافة 11كم. بعد إن وصفت عينات التربة على وفق دليل مسح التربةالأمريكي(36)، وصنفت آفاقها المختارة على أساس العمق الجذري الذي تصل إليه أكثر النباتات(30)، وبالاعتماد على النظام الأمريكي(37)، تم نقلها إلى مختبر الدراسات العليا في كلية الزراعة التابعة لجامعة القاسم الخضراء لإجراء كافة المتطلبات اللازمة لأن تكون العينات جاهزة للفحوص التقديمية.

**الخصائص الفيزيائية:** قدر التوزيع الحجمي لمفصولات التربة على وفق الطريقة الموصوفة في (27).

**الخصائص الكيميائية:** تضمنت دراسة المعايير التقليدية للبوتاسيوم من خلال تقدير أيونات البوتاسيوم الذائبة في مستخلص العجينة المشبعة (17). واستخلصت المتبادلة منه باستعمال خلات الأمونيوم عند تفاعل وسط 7 على وفق الطريقة الموصوفة في(35)، وبواسطة جهاز اللهب الضوئي(Flame photometer) نوع Biotech AFB100 تم تقدير تركيز وكمية كل منها. وقد حسب البوتاسيوم غير المتبادل من الفرق بين الكمية المستخلصة بحامض النتريك ( $1N$ ) والكمية المستخلصة بكلوريد الكالسيوم( $1N$ ) (34). بينما البوتاسيوم الكلي قدر بالهضم بواسطة حامض الهيدروكلوريك تركيزه 648% وحامض الكبريتิก 97% مع حامض البيروكلوريك 62% باستعمال جفنة بلاتينية سعة 3 سم<sup>3</sup> مع التسخين على وفق طريقة (24)، والموصوفة في(34)، واستعمل جهاز اللهب الضوئي المذكور مسبقاً في التقدير. في حين تم حساب البوتاسيوم المعدني بعملية الطرح حسب الصيغة المقترحة من قبل (33)لصور البوتاسيوم المختلفة. أما المعايير الثرموديناميكية تضمن حساب نسبة النشاط أو فعالية البوتاسيوم(ARK) في المستخلصات والرواشح باستعمال البرنامج المعد من قبل Wolt(39) من خلال قيم الفعالية الأيونية لكل من البوتاسيوم(ak) والكالسيوم(aCa) والمغنيسيوم(aMg) على وفق المعادلة(1):

$$ARK = \frac{ak}{\sqrt{aCa + aMg}}$$

(1)

بعد تقدير القوة الأيونية من قيم الإ يصلالية الكهربائية( $I=0.013\times ECe$ ) على وفق ما جاء به (21). إضافة إلى تقدير معامل الفعالية من معادلة ديبي

البوتاسيوم الحاملة إليه كالميكا والفلدسبارات التي تعد الأساس في تجهيز التربة بالبوتاسيوم(15). لذلك أولت بعض الدراسات اهتمام في تقييم جاهزية البوتاسيوم وعلاقته بالتكوين المعدني، وأالية تحرره من ترب المناطق الجافة وشبه الجافة على أثر تحولات معدن الميكا باتجاه معادن السمعكait نتاجة لإزاحة البوتاسيوم وتكون المعادن المستطبقة التي تمثل الحالة الوسطية لهذه التحولات(1,4,8)، لكن لم تعطى تفسير واضح لهذه العلاقة البوتاسيية المعدنية وتشخيص مسببات وجوده وتتوفره جراء تلك التحولات المعدنية التي أظهرت بوادرها في ترب وسط العراق وجنوبه. وكذلك للكيفية التي تميز بها تأثير الاستغلال الزراعي في هذه الترب حتى تحصل تجوية للميكا سواء عن طريق الحواف أو الطبقات من خلال ما أشارت إليه دراسة الجاف(1) للمظاهر الشكلية لسطح المعدن المتأثر في عملية التحول التي طرحت سؤال بقى مرهون بالدراسات اللاحقة في التحري عن تلك التحولات على أثر الاستغلال الزراعي. وكذلك لم تستثمر الكثير من الدراسات المعايير التقليدية والترموديناميكية والتبدالية لنقيمة جاهزية البوتاسيوم وربطها مع التكوين المعدني للتربة. وفي ضوء ذلك توجهت الدراسة لتحقيق الأهداف الآتية:

1. دراسة بعض تحولات المعادن الحاملة للبوتاسيوم في ترب مدينة الحلة عند محافظة بابل.
2. دراسة أثر التحولات المعدنية في جاهزية البوتاسيوم وتقييم حالته عند ترب الأفاق السطحية.

#### المواد وطرق العمل:

**الإجراءات الحقلية والمخبرية:** اختيرت ثلاثة مواقع بيدونية عند ترب مدينة الحلة والمناطق المجاورة إليها في محافظة بابل، وباتجاهات حددت على وفق برنامج GPS Google earth، وجهاز الموقع الجغرافي (GPS) بين خط طول 446724° إلى 444299° شرقاً، ودائرة عرض 3208757° إلى 3275183° شمالاً. إذ يقع البيدون الأول( $P_1$ ) في منطقة الجمجمة. والبيدون

على وفق الطريقة(31). بعد ذلك فصلت مكونات التربة المعدنية المتمثلة بالرمل عبر منخل قطر فتحاته 50 مايكرومتر، بينما فصل الطين بطريقه الترسيب على وفق قانون ستوك، وتم تجزئة العينات الطينية لتشريع بعضها بالمغنيسيوم والبعض الآخر بالبوتاسيوم على شرائح زجاجية معدة للأغراض المطلوبة.

#### النتائج والمناقشة:

**الخصائص الفيزيائية:** يوضح الجدول 1 توزيع مدبات حجوم دقائق الرمل والغررين والطين، وصنف نسحة ترب بيدونات الدراسة. إذ كانت السيادة في تربة البيدون 1 لمفصول الغرين بليه الطين ومن بعده يأتي الرمل. في حين كانت السيادة للرمل في تربة البيدون 2 بليه الغرين وبعده الطين. في حين تربة البيدون 3 كانت السيادة للطين بليه الغرين ومن بعده يأتي الرمل عند تربة البيدون 3. تشير النتائج إلى التباين الواضح في تناوب كمية المفصولات عند ترب البيدونات، ربما تعكس قربها وبعدها عن مصادر الترسيب النهري التي من شأنها حمل الدقائق على وفق حجمها الحبيبي وسرعة جريان الماء، ومن مميزاتها في الغالب نقل الدقائق ضعيفة التدرج(الغررين)، والطين إلى مسافات بعيدة على وفق معدل الانسياب لجريان المائي (12).

جدول(1): التوزيع الحجمي لمفصولات التربة في آفاق بيدونات الدراسة.

Table(1): Size distribution of soil fractions at study pedons horizons.

النسجة Texture	التوزيع الحجمي لمفصولات التربة (غم كغم <sup>-1</sup> )			العمق (سم) Depth (cm)	الأفق Horizon	البيدون Pedon
	الطين Clay	الغررين Silt	الرمل Sand			
SiC	360	500	140	32-0	A <sub>P</sub>	P <sub>1</sub>
C	480	360	160	63-32	C <sub>1</sub>	
SiC	420	480	100	140-101	C <sub>3</sub>	
L	320	420	260	36-0	A <sub>P</sub>	P <sub>2</sub>
SC	360	430	210	71-36	C <sub>1</sub>	
C	510	280	210	46-0	A <sub>P</sub>	P <sub>3</sub>
SiC	500	420	80	70-46	C <sub>1</sub>	

التربة نتيجة لوجود عدد كافي من موقع السطوح الخارجية مشغولة بالبوتاسيوم، وهذا يتفق مع ما توصل إليه (9). وما أكدته كمية البوتاسيوم المتبادل التي تراوحت بين 0.17-0.37 سنتمول كغم<sup>-1</sup> في ترب الآفاق السطحية وتحت السطحية، وهي بقيم أعلى من الذائب، ربما تعزى أسباب ارتفاع كمية البوتاسيوم المتبادل إلى

هيكل المذكورة في Lindsay(28) لأجل حساب فعالية الأيونات المذكورة في المعادلة(1). فضلاً عن حساب قيم الطاقة الحرية للاستبدال( $\Delta F$ )- $\Delta F$  (2) بين البوتاسيوم والكلاسيوم مع المغنيسيوم من خلال المعادلة(2) المقترنة من قبل Woodruff على النحو الآتي:

$$\Delta F = -1.364 \times \log ARK \quad (2)$$

وتم حساب معامل تفضيل گابون(KG) كمعيار تبادلي على وفق ما بينه Gapon (22) بالمعادلة(3) الآتية:

$$K_{\text{exch.}} / (CEC - K_{\text{exch.}}) = K_G \times ARK \quad (3)$$

إذ إن:  $K_{\text{exch.}}$  البوتاسيوم المتبادل، والـ CEC السعة التبادلية للأيونات الموجبة يعبر عنهم بوحدة سنتيمول شحنة كغم<sup>-1</sup>. في حين معامل تفضيل گابون ونسبة الفعالية الأيونية للبوتاسيوم يعبر عنهم بوحدة (مول<sup>1/2</sup> لتر).

**الخصائص المعدنية:** تم غسل الأملاح الذائبة من تربة الآفاق السطحية والسفلية المختارة لدراسة الخصائص المعدنية كما ورد في(26)، وكذلك إزالة معادن الكربونات، إضافة إلى المادة العضوية. والأكسيد الحرية جدول(1): التوزيع الحجمي لمفصولات التربة في آفاق بيدونات الدراسة.

**الخصائص الكيميائية:** أفاد الجدول 2 صور البوتاسيوم المختلفة، وفيها تراوح البوتاسيوم الذائب عند ترب الآفاق من بيدونات الدراسة بين 0.02-0.10 سنتمول كغم<sup>-1</sup>. يتضح من خلال النتائج ان البوتاسيوم الذائب كان أكبر من عتبة التحرر (0.08 مليمول لتر<sup>-1</sup>) المقترنة من قبل(20)، مما يجعل البوتاسيوم لا يتعرض للتثبيت في

إلى إن مادة الأصل لترب عينات الدراسة غنية بالمعادن الحاملة للبوتاسيوم، وهي بقيم أعلى مما حصلت عليه عدة دراسات منها (4, 5, 7, 8, 10).

أشار الجدول 3 إلى قيم الفعالية الأيونية للبوتاسيوم ( $\text{ARe}^K$ ) لترب آفاق بيدونات الدراسة التي تراوحت بين 0.0085-0.0015 (مول لتر $^{-1/2}$ ). تشير النتائج إلى وجود حالة من الاتزان للطور السائل مع الطور الصلب في الترب قيد الدراسة، ربما يرجع ذلك إلى انخفاض تراكيز الكالسيوم والمغنيسيوم الذائبة في محلول التربة، وتحرر البوتاسيوم من الطور الصلب بفعل التحولات المعدنية باتجاه المعادن المستطبقة التي أشارت إليها نتائج منحنيات الأشعة السينية عند أطيان ترب الدراسة، لاسيما في الآفاق والعينات السطحية.

تراوحت قيم الطاقة الحرجة المبينة في الجدول 3 بين (3835) إلى (2817)- سعره مول $^{-1}$  عند ترب آفاق البيدونات. وهي ضمن مدى حالة الاتزان المناسب للبوتاسيوم في التربة المقترن من قبل (Woodruff 40) بين (3500-) إلى (-2500)، ربما تعزى الأسباب إلى ارتباطها مع فعالية البوتاسيوم وكل من الكالسيوم والمغنيسيوم في طوري التربة السائل والصلب (2). تراوح معامل تفضيل گابون (الجدول 3) بين 1.12-1.92 لتر مول $^{-1/2}$  عند ترب الآفاق من بيدونات الدراسة، يشير هذا المدى إلى إن البوتاسيوم من نوع الحواف على وفق تصنيف (Mengel 32) لصيغ البوتاسيوم الموجود في الطور الصلب (102-112 لتر مول $^{-1/2}$ )، وهذه النتائج ربما تعطي مؤشر إلى هنالك تحولات لمعادن المايكا باتجاه معادن السمنتايت، وتكون المعادن المستطبقة غير المنتظمة التي يمكن أن تنشأ على أثر تجوية حافات معادن المايكا على وفق الظروف والعوامل السائدة وشذتها في مناطق ترب الدراسة.

ارتباطها مع كمية ونوعية المعادن السائدة والحاملة للبوتاسيوم، ان الذي يؤكد ذلك نتائج الأشعة السينية التي أظهرت تحولات معادن المايكا باتجاه معادن السمنتايت، وتكون المعادن المستطبقة في أطيان الآفاق والعينات السطحية جميعها، نتيجة لتحرر البوتاسيوم من حواف وحداتها البنائية، وبذلك يخرج من إطار الصورة غير المتبادلة إلى المتبادلة التي تجهز محلول التربة بالبوتاسيوم. وتأكيداً لذلك فإن قيم الطاقة الحرجة كانت ضمن مدى حالة الاتزان المناسب للبوتاسيوم في التربة (الجدول 3)، ومعامل تفضيل گابون أشار إلى أن البوتاسيوم من النوع المرتبط بالحواف (الجدول 3). وفي ضوء ذلك تراوحت كمية البوتاسيوم الجاهز في الجدول 2 بين 0.22-0.47 سنتمول كغم $^{-1}$  عند الآفاق من بيدونات ترب الدراسة. وهي أعلى من الحدود المذكورة من قبل راين وأخرون (11) في ما إذا كان البوتاسيوم القابل للاستخلاص أقل من 0.26-0.39 سنتمول كغم $^{-1}$ .

فإن التربة تؤشر نقص بالبوتاسيوم وضرورة التسميد. بين الجدول 2 كمية البوتاسيوم غير المتبادل التي تراوحت 0.11-0.22 سنتمول كغم $^{-1}$  في ترب الآفاق من بيدونات الدراسة، ومن هذه النتائج يتضح أن كمية البوتاسيوم غير المتبادل أعلى من كميته المتبادلة ربما تشير إلى تحرر البوتاسيوم من بين الطبقات الداخلية للمعادن الحاملة إليه باتجاه البوتاسيوم المتبادل نتيجة لتحولات معادن المايكا باتجاه معادن السمنتايت وتكون المعادن المستطبقة غير المنتظمة. وعند اعتماد الحرج للبوتاسيوم غير المتبادل 1.00 سنتيمول كغم $^{-1}$  الذي اقترح (17)، فإن عينات ترب الدراسة تعد ذات تجهيز عال بالبوتاسيوم غير المتبادل.

كانت كمية البوتاسيوم المعدني والكلي عند ترب الآفاق السطحية بين 82.77-98.50 و 98.50-100 سنتمول كغم $^{-1}$  على التتابع (الجدول 2)، تشير النتائج

جدول(2) المعايير التقليدية للبوتاسيوم في ترب آفاق بيدونات الدراسة.

Table(2):Traditional standards of potassium at study horizons pedons soils.

الكلي Total	المعدني Mineral	غير متبادل Non Exchang.	الجاهز Available	متبادل Exchang e	ذائب Solubl e	العمق (سم) Depth (cm)	الآفاق Horizon	البيدون Pedon
(ستمول كغم <sup>-1</sup> ) (Cmol kg <sup>-1</sup> )								
96.46	96.02	0.22	0.22	0.20	0.02	32-0	AP	<b>P<sub>1</sub></b>
85.15	83.83	1.05	0.27	0.25	0.02	63-32	C <sub>1</sub>	
90.25	89.69	0.32	0.24	0.22	0.02	140-101	C3	
87.53	86.32	0.84	0.37	0.33	0.04	36-0	AP	<b>P<sub>2</sub></b>
83.35	82.77	0.11	0.47	0.37	0.10	36-71	C1	
100	98.50	1.22	0.28	0.26	0.02	46-0	AP	<b>P<sub>3</sub></b>
99.35	98.16	0.94	0.25	0.17	0.08	70-46	C1	

جدول(3) : بعض المعايير термодинاميكية والتبادلية للبوتاسيوم عند ترب آفاق بيدونات الدراسة.

Table(3): Thermodynamic and exchange standards of potassium under study pedons horizons soils.

معامل تفضيل كابون (لتر مول <sup>1/2</sup> ) Gapon Select Coefficient (mol L <sup>-1/2</sup> )	طاقة الحرارة الاستبدالية (سعرة مول <sup>-1</sup> ) Free energy (Cal mol <sup>-1</sup> )	فعالية أيون البوتاسيوم (مول لتر <sup>-3</sup> ×10 <sup>-1</sup> ) Activity ion K (mol L <sup>-1</sup> × 10 <sup>-3</sup> )	العمق (سم) Depth(cm)	الآفاق Horizon	البيدون Pedon
6.33	3835	1.54	32-0	A <sub>P</sub>	<b>P<sub>1</sub></b>
6.92	3705	1.91	63-32	C <sub>1</sub>	
6.25	3747	1.78	140-101	C <sub>3</sub>	
4.59	3431	3.04	36-0	A <sub>P</sub>	<b>P<sub>2</sub></b>
2.06	2817	8.59	71-36	C <sub>1</sub>	
5.73	3668	2.04	46-0	A <sub>P</sub>	
1.12	2875	7.79	70-46	C <sub>1</sub>	<b>P<sub>3</sub></b>

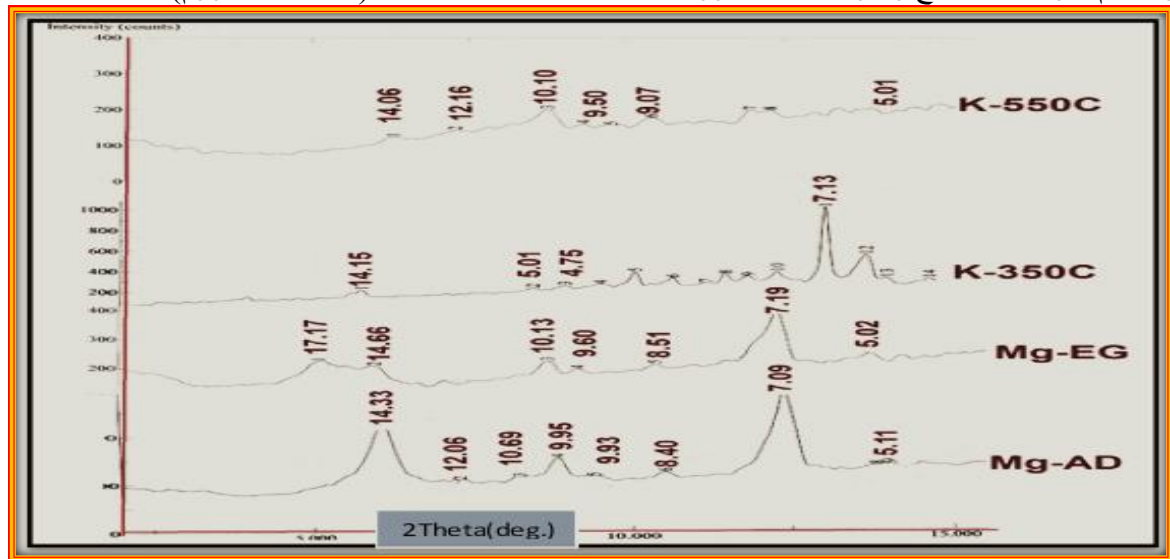
التربة وفعالية سطوحها التي تقوم بدور مهم ليس فقط بعمليات تثبيت وتحرر البوتاسيوم، بل تؤثر أيضاً في حرية وحركة أيونات البوتاسيوم بالتربة من خلال موقع الامتزاز التي تختلف في مدى تفضيلها الأيوني (30).

**الخصائص المعدنية:** أظهرت نتائج منحنيات الأشعة السينية للأطيان الآفاق Ap من تربة البيدون 1 في الشكل 1

وكذلك ما أكدته نتائج منحنيات الأشعة السينية التي أظهرت وجود للمعادن المستطبقة غير المنتظمة على أثر تحولات معادن المايكما باتجاه معادن السمعكتايت (1:2) المتعددة. إن النتائج هذه تعكس الكفاءة العالية لطبيعة التبادل الأيوني في تربة الدراسة، ربما تعزى الأسباب إلى كمية ونوعية المعادن الطينية في

المسافة القاعدية 7.09 أنكستروم في المعاملات جميعها، باستثناء معاملة التسخين 550°C أدت إلى اختفاءه. إن المسافات القاعدية المتعددة في معاملة التشبع بالمعنتموريولونايت عند المسافة القاعدية 9.95 و 9.36 و 9.07 و 10.69 و 12.06 أنكستروم تدل على وجود معادن المايكا. ولما كانت هذه المسافات القاعدية بقمة عريضة وغير حادة، والوسطية منها عريضة القمم عند المسافة القاعدية 12.06 أنكستروم والمحصورة بين حبيبات المايكا (9.95-10.69) و غير محددة معادن السمعكتايت (14.33-14.06).

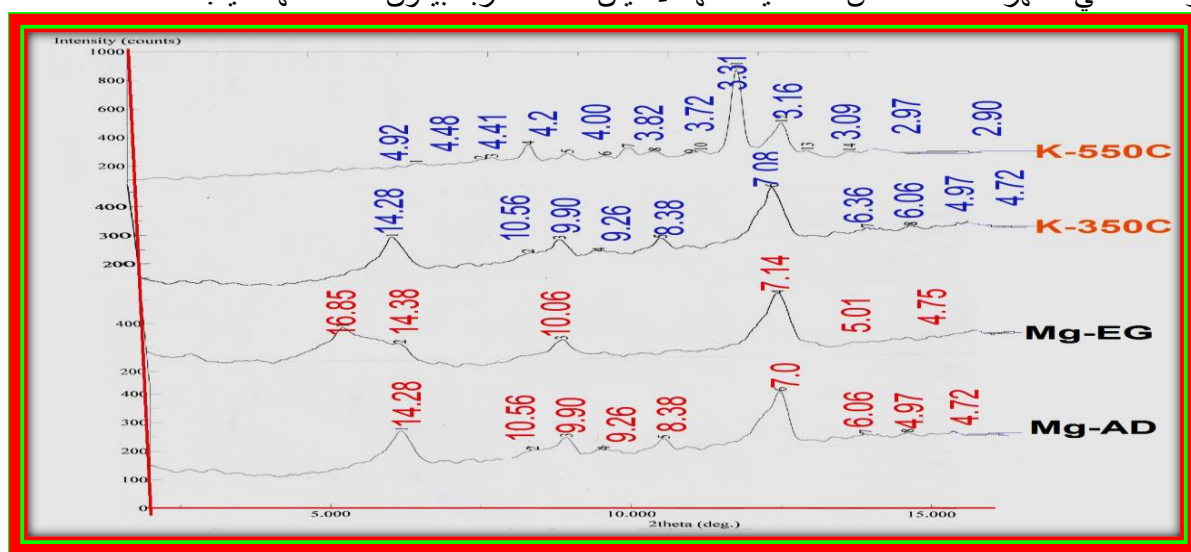
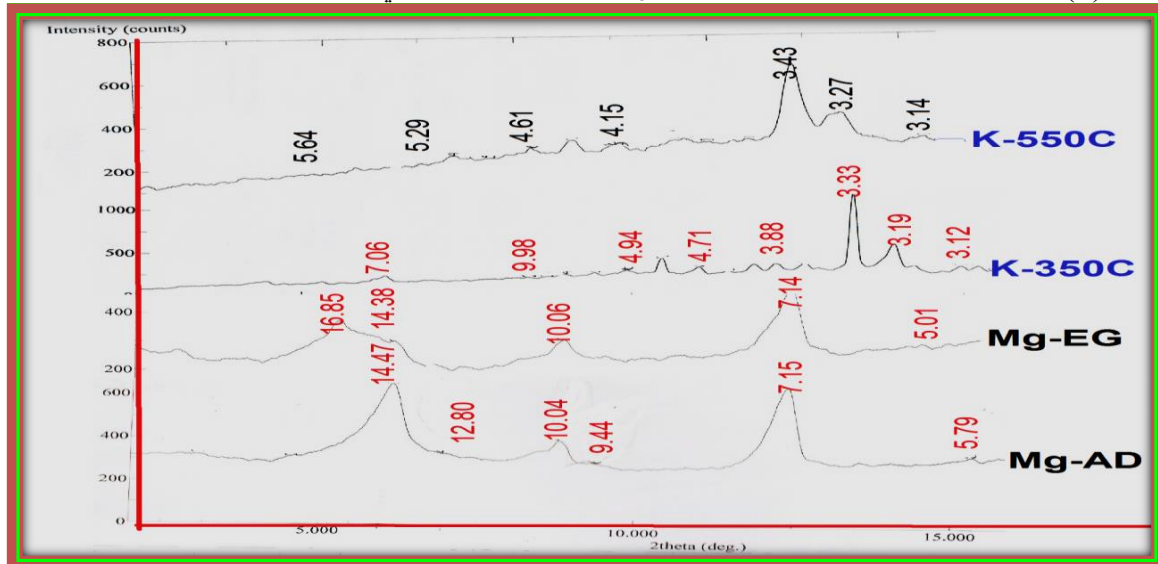
وجود معادن الكلورايت الحقيقي من خلال المسافة القاعدية 14.33 أنكستروم التي استمرت بالثبات في المعاملات جميعها. وكذلك وجود معادن المونتموريولونايت عند المسافة القاعدية 14.33 أنكستروم في المعاملة المشبعة بالمعنتموريولونايت بالجافة هوائيًا، وانساعها إلى حبيبات التداخل 17.17 أنكستروم عند العينة المشبعة بالمعنتموريولونايت بالجافة هوائيًا، في حين انهارت تلك المسافة القاعدية عند المعاملة المشبعة بالبوتاسيوم والمعاملة بالأتلين كلايكول. في 350°C و 500°C المسخنة إلى درجات حرارة 350°C و 500°C. وأبدت النتائج وجود معادن الكاؤولينايت عند



الشكل(1) منحنيات الأشعة السينية لأطيان الأفق Ap من تربة البيدون 1 في الجمجمة.

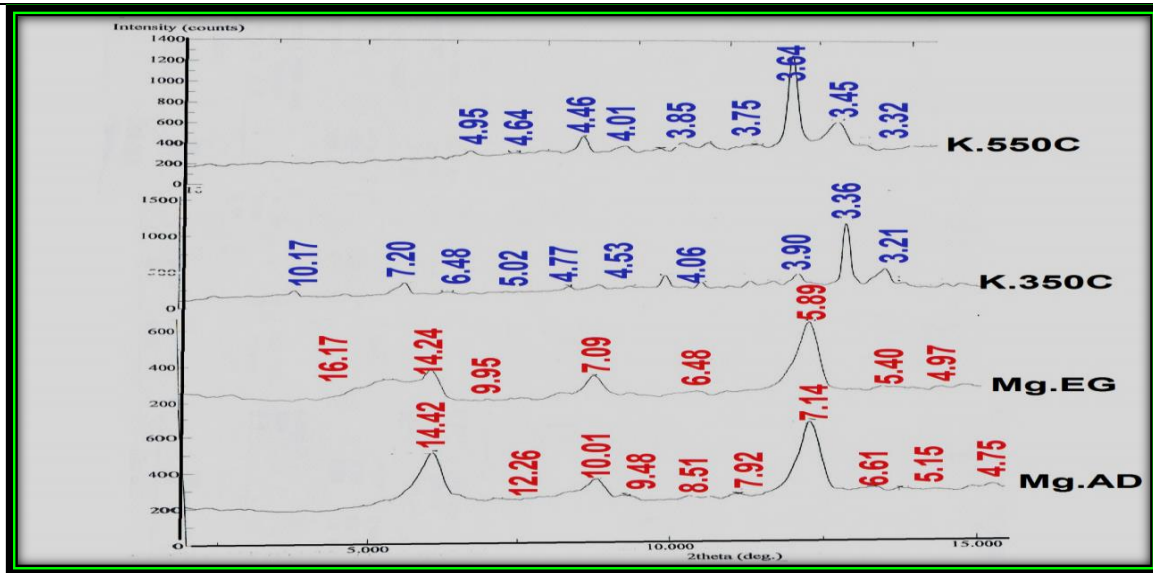
جاءت نتائج منحنيات الأشعة السينية في الشكل(3) لأطيان الأفق Ap من تربة البيدون 2 متوافقة مع نتائج أطيان الأفق السطحي Ap من تربة البيدون 1 من حيث وجود المعادن المستطبة. وعند المسافة القاعدية 12.80 أنكستروم، والنائمة عن تحولات معادن المايكا باتجاه معادن السمعكتايت نتيجة لإزاحة أيون البوتاسيوم من تركيبها البنائي. فضلاً عن وجود معادن المونتموريولونايت بالمسافة القاعدية 14.47 أنكستروم التي اتسعت لتصل إلى حبيبات التداخل 16.85 أنكستروم عند معاملتي التجفيف الهوائي والأتلين كلايكول على التتابع. وانهارت عند معاملتي التسخين 350°C و 500°C. وأظهرت نتائج الأشعة السينية عند أطيان الأفق المذكور وجود معادن الكلورايت المنتفخ بالمسافة القاعدية 14.38 أنكستروم واستمرارها إلى درجة الحرارة 550°C التي أدت إلى اختفاءها. وكذلك وجود معادن الكاؤولينايت من خلال الخصائص المعدنية المذكورة آفأً، مع ظهور حبيبات البايبوبيتايت 5.79 أنكستروم الذي يتميز بالشدة الضعيفة. وهذه النتائج تتفق ما توصلت إليها السلماوي (3) عند دراستها للتباين المعدني بين تربات نهر دجلة والفرات عند مدineti الكوت

بيانت نتائج منحنيات الأشعة السينية في الشكل 2 للأطيان الأفق السفلي C3 من تربة البيدون 1 عدم وجود تحولات لمعادن المايكا باتجاه معادن السمعكتايت المتعددة على وفق المؤشرات سابقة الذكر في أطيان الأفق Ap من تربة البيدون ذاته لهذه التحولات المعدنية. وإنما وجود معادن المونتموريولونايت بمسافة قاعدية 14.28 أنكستروم عند معاملة التشبع بالمعنتموريولونايت والجافة هوائيًا. وانساعها إلى حبيبات التداخل 16.85 أنكستروم في معاملة الأتللين كلايكول. وان استمرار المسافة القاعدية 14.38 أنكستروم، وظهورها عند كتف الزاوية المنخفضة لحبيبات المونتموريولونايت المتعدد وبقمة واسعة عند معاملة التسخين 350°C بمسافة قاعدية 14.28 أنكستروم التي انهارت عند معاملة التسخين 500°C، تشير هذه النتائج إلى وجود معادن الكلورايت المنتفخ (18) وأظهرت نتائج الأشعة السينية وجود معادن الكاؤولينايت بخصائصه المعدنية المذكورة مسبقاً. وجود معادن البايكورسكايت عند المسافة القاعدية 10.56 أنكستروم. والمايكا من خلال ثبات مسافتھما القاعدية واستمرارها في المعاملات جميعها أيضاً.

الشكل(2) منحنيات الأشعة السينية لأطيان الأفق C<sub>3</sub> من تربة البيدون 1 في منطقة الجمجمة.

الشكل(3) منحنيات الأشعة السينية لأطيان الأفق Ap من تربة البيدون 2 في منطقة الهاشمية.

أبدت نتائج منحنيات الأشعة السينية لأطيان الأفق Ap من تربة البيدون 3 في الشكل(4). إذ بينت وجود المعدن المستطيق غير المنتظم (Mica-Smectite) عند المسافة الفاقدية 12.26 أنكستروم في العينة المشبعة بالمغنيسيوم والجافة هوائيًا. ومعادن السmekتايتس



الشكل(4) منحنيات الأشعة السينية لأطيان الأفقAp من تربة البيدون3 في بستنة المحاويل. ومن خلال ملاحظة النتائج إن ظروف وعوامل الاستغلال الزراعي لترب الدراسة من الأشجار والنبات الطبيعي قد أثر في تحولات معادن المايكا باتجاه معادن السمعكتايت وتكون المعادن المستطبة غير المنتظمة التي أظهرت وجودها في الأفاق السطحية دون الأفاق السفلية من الترب قيد الدراسة. وهذا ما أكد(37) ان الغطاء النباتي له تأثير في تحولات معادن المايكا باتجاه معادن السمعكتايت وتكون المعادن المستطبة. وعزز ذلك كل من (6) ان للاستغلال الزراعي تأثير في تكون المعادن المستطبة عند بعض الترب الجبسية. وبذلك أعطت الدراسة الحالية تفسير لأثر الاستغلال الزراعي في هذه التحولات المعدنية، ربما إلى استنزاف أيونات البوتاسيوم في محلول التربة لعدم وجود التسميد الكيميائي والعضووي، وما يحتاجه النبات من هذا العنصر يجره أن يزاح ويتحرر من المعادن الحاملة إليه، بما يطلق على هذه الظاهرة بالسعة التنظيمية للتربة، وبذلك تحصل تجوية لمعادن المايكا على أثر الغطاء النباتي باتجاه معادن السمعكتايت، و بتجوية تسمح لأن تحصل عند حواف معادن المايكا في ترب تلك المناطق من وسط وجنوب العراق، مما ينتج عنها المعادن المستطبة غير

(21) عند حالة الجفاف فإن سطح الجذور النباتية تكون في تماص مع غروبيات التربة من خلال حقول التذبذب(Field oscillation) دون أن يكون للماء دور في ذلك، مما تساعد هذه الظروف على هجرة أيونات الهيدروجين من سطح الجذور إلى التركيب البنائي والتبادل مع أيونات البوتاسيوم في المعادن الحاملة إليه.

وربما لوجود الأحماس العضوية الناتجة عن تحلل المادة العضوية تعمل على تحرر البوتاسيوم من المعادن الحاملة إليه من خلال خفض تفاعل التربة(pH) في المنطقة الجذرية. وهذا ما أكد كل من(25) إن المادة العضوية تسهم في تحولات معادن المايكا في حالة تحللها إلى الأحماس العضوية من خلال خفض تفاعل التربة عند المنطقة الجذرية نحو الحامضية، مما يسبب تحرر أيونات البوتاسيوم من تلك المعادن الحاملة إليه.

- الوطيفي والجبورى**
- الترب الجبسية، مجلة جامعة تكريت-  
المجلد16-العدد2.
7. العبيدي، محمد علي جمال، 1996، حركيات البوتاسيوم في بعض الترب العراقية، اطروحة دكتوراه - كلية الزراعة - جامعة بغداد.
8. القيسى، علي عيسى حسين، 2013، تقييم حالة البوتاسيوم الترموديناميكية في الترب الكلسية لمناطق الفرات الأوسط، رسالة ماجستير- كلية الزراعة- جامعة بابل.
9. المهدانى، لزكين احمد مبروبين ،2008، دراسة تأثير أزالت معادن الكاربونات وأكاسيد الحديد على امتراز وتحرر البوتاسيوم من مفصول الطين في بعض ترب شمال العراق، اطروحة دكتوراه- كلية الزراعة- جامعة الموصل.
10. جواد، كامل سعيد وبشري محمود علوان، 2001، تأثير سmad اليوريا في كمية البوتاسيوم المتحرر من غير المتبدل خلال فترة الذرة الصفراء- مجلة العلوم الزراعية العراقية - 32 (2): 31-36.
11. راين جون، جورج اسطفان وعبد الرشيد ،2003، تحليل التربة والنباتات- دليل محظري- المركز الدولى للبحوث الزراعية في المناطق الجافة (ايكاردا).
12. عطا الله، ميشيل كامل،2009، أساسيات الجيولوجيا، دار المسيرة للنشر والتوزيع، عمان، الأردن.
13. علي، نور الدين شوقي، محمد حسين عزيز، 2003، تأثير التسميد الفوسفاتي والبوتاسيوم في حاصل الذرة الصفراء وكفاءة استعمال المياه، مجلة العلوم الزراعة المجلد 34 العدد1-40.
14. مصطفى، احمد طاهر عبد الصادق،1985، أساسيات علم الأراضي، الجمعية المصرية لنشر المعرفة والثقافة العالمية، القاهرة(تأليف: هنري، فوثر، 1978). الأجنبية
- 15.Ajiboye, A.G and A.J. Ogunwale, 2008.Potassium distribution in the sand , silt and clay separates of soils formed over talc at Ejiba, Kogi, State, Nigeria. World
- ومن خلال ما أفرزته الدراسة الحالية من نتائج ومناقشة استنتجت على أن البوتاسيوم الذائب ربما كان مصدره عملية التحرر للبوتاسيوم من سطوح مقدات التبادل الأيوني للمعادن الحاملة إليه. وهذا ما بينته قيم الفعالية الأيونية للبوتاسيوم والطاقة الحرية من حالة اتزان في البوتاسيوم بين طوري التربة السائل والصلب، وأفادت إن معامل تفضيل گابون للبوتاسيوم المتحرر كان من نوع تجوية الحواوف. وبالاعتماد على نتائج الأشعة السينية التي بينت وجود المعادن المستطبقة غير المنتظمة نتيجة تحول معادن المايكا باتجاه معادن السمعكيات(1:2)المتمدة، ربما أسهمت في تجهيز أيونات البوتاسيوم عند ترب الدراسة.
- المصادر:**
1. الجاف ، بارزان عمر احمد محمد، 2006 ، طبيعة تكوين وتواجد المعادن المستطبقة والعوامل المؤثرة فيها في بعض الترب العراقية، اطروحة دكتوراه - كلية الزراعة - جامعة بغداد.
  2. السامرائي، عروبة عبد الله احمد ، 2005 ، حالة وسلوكية البوتاسيوم في ترب الزراعة المحمية ، اطروحة دكتوراه - كلية الزراعة - جامعة بغداد.
  3. السلماوي ، نور الهدى جواد كاظم ، 2017، التباين المعدني لترسبات نهرى دجلة والفرات عند مدینتي الكوت والحلة. رسالة ماجستير - كلية الزراعة - جامعة القاسم الخضراء .
  4. الشيخلي ، روعة عبد اللطيف، 2006 ، مقارنة حالة وسلوك البوتاسيوم المضاف على شكل سمادي كبريتات البوتاسيوم وكلوريده لترتبتين مختلفتين النسجة ، اطروحة دكتوراه - كلية الزراعة - جامعة بغداد.
  5. العايدى، مهدي وسمى صحيب مطر، 2004، مقارنة حركيات تحرر البوتاسيوم بطرائق مختلفة وعلاقتها بخواص التربة. رسالة ماجستير- كلية الزراعة والغابات- جامعة الموصل.
  6. العبيدي، باسم شاكر عبد وعدنان محيي الدين حواس الجبورى،2016، تأثير الاستغلال الزراعي في تكوين المعادن المستطبقة في بعض

- conductivity of natural aquatic system and soil extracts. *Soil Sci.* 116: 23 – 30.
- 24.Jackson, M.L.** 1958. *Soil Chemical Analysis*. Prentice-Hall Inc. Englewood, Cliffs, N.J.
- 25.Khademi, H. and Naderizadeh, Z.** 2010 Mineralogy changes of clay sized phlogopite and muscovite as affected by organic matter amendment in rizosphere. *Anadola. Agric. Sci* 25 (S – Z): 74 – 79 .
- 26.Kunze,G.W.** 1962.Pretreatment for mineralogical analysis. Reprint of section prepared for methods monograph published by the Soil Sci. of Am., 13p
- 27.Lab#4,Soil Texture.** 2004. Texture + method and start = 40, www .google iq/#9=Lab%234.
- 28.Lindsay, W. L.** 1979. *Chemical equilibria in soils*. John Wiley and Sons, New York.
- 29.Nogle, V.M.** 2011.using soil heavy metal enrichment and mobility factors to determine potential uptake by vegetables plant soil environ.j.vol 57n(1):75-85.
- 30.Mengel, K.** 1985. Dynamics and availability of major nutrient in soils . *Adv. In Soils Sci.* 20: 107-110.
- 31. Mehra, O.P. and Jackson, M.L.** 1960. Iron oxide removal from soils and clays by a dithionite-citrate system buffered with sodium bicarbonate. In:(Eds: Swineford,A. Plummer,N). *Clays and Clay Miner.*, Proc.7<sup>th</sup> . Journal of Agricultural Sciences 4 (6):709-716.
- 16.AL-Zubaidi, A.H., and H. Pagel.** 1979. Content of different potassium Foundation, Baghdad, Iraq. from in some Iraqi soils. Second Sci. Con. Scientific Research.
- 17.Black , C. A .** 1965 . Method of Soil Analysis . Am . Soc . of Agronomy . No . 9 Part 1 and 2 . USA.
- 18.Barnhisel, R.I. and P.M.Bertsch.** 1989. Chlorites and hydroxyl interlayered vermiculite and smectite. In: *Mineral in soil environments*.Book Series No,2<sup>nd</sup> ed. (Eds: Dixon, J.B., and Weed, S.B.). *Soil Soc. Am*. Madison,Wisconsin, USA.729-779 PP.
- 19.Charkravartis, P. and S. Pahaik.** 1990. Fixation and release of potassium in flooded rice soils. *J. Indian Soc. Sci.* 38: 243-247.
- 20.Datta, A. C. and T. G. Sastry.** 1988. Determination of threshold levels for potassium release in three soils. *J. Indian Soc. Soil Sci.* 36: 676 – 681.
- 21.Devlin, R.M and F.H witham.** 1983 *plant phyiology* . boston: Willard Grant press.
- 22.Gapon, E. N.** 1933. Theory of exchange adsorption in soil. *J. Gen. Chem. ( U.S.S.R. )* , 3 ( 2 ) 144 – 158.
- 23.Griffin, R. A., and J. J. Jurinak** .1973. Estimation of activity coefficients from the electrical

salt solution . Soil Sci. AM. Proc. 19: 36-40.

Nat. Conf. Washington, Dc. New York. Pergamon Pr., P.317-327.

**32.Mengel, K. and Kuhlenbecker .**  
1993.Determination of available interlayer potassium and its uptake by ryegrass. . Soil Sic .Soc. Am.57:761-766.

**33.Martin, H.W. and D.L. Sparks.** 1983. Kinetics of nonexchangeable potassium release from two Coastal Plain Soils. Soil Sci. Soc. Am. J. 47: 883-887.

**34.Page, A.L., R.H. Miller & D.R. Kenney.** 1982. Methods of soil analysis. Part(2). 2nd. Ed. Agronomy 9.

**35.Pratt. P.F.** 1982. Potassium. In: Method of soil analysis. Part 2. C.F. page. et al., 1992.

**36.Soil Survey Staff .** 2010. Keys to soil taxonomy . V.S.D.A., NRCS . Eleventh Addition . Soils and mineral deposits. American Mineralogist,51:875-888.

**37.Soil Survey Staff.** 1993. Soil survey manual. USDA. Hand book No18US Government Printing Office Washing .ton, DC.20402.

**38. Velde, B., and T. Peck.** 2002. Clay Mineral Changes in the Morrow Experimental Plots, University of Illinois. Clays and Clay Minerals 50:364-370.

**39..Wolt,J.** 1988. Soil solution (soilsoln, Bas) University of Tennessee, Knoxville.

**40..Woodruff, C. M.** 1955 . Ionic equilibrium between clay and dilute